

## مطالعه پویایی مکانی جمعیت‌های علف‌هرز یک مزرعه ذرت با استفاده از ژئواستاتیستیک

\* آریتا اشرافی، محمد بنایان، محمد حسن راشد محصل

### چکیده

اهمیت توزیع مکانی در روشهای نمونه‌برداری، مدلسازی دینامیک جمعیت و مدیریت درازمدت علفهای هرز اهمیت خاصی را برای روشهای توصیف و آنالیز توزیع مکانی ایجاد کرده است. به همین منظور در سال ۱۳۸۱ در مزرعه دانشکده کشاورزی دانشگاه فردوسی مشهد، علفهای هرز مزرعه ذرت در ۱۷۱ نقطه در بخشی به مساحت ۱ هکتار با استفاده از سیستم شبکه‌ای ۷ متر در ۷ متر در سه نوبت به ترتیب قبل از مدیریت پس رویشی، بعد از مدیریت پس رویشی و پیش از برداشت شناسائی و شمارش شدند. به منظور بررسی ساختار مکانی علفهای هرز و پویایی لکه‌ها از تکنیک ژئواستاتیستیک استفاده شد. در مجموع ۱۵ گونه علف هرز در مزرعه مشاهد شد. تجزیه و تحلیل سمی واریوگرام برای گونه‌های متداول نشان داد که دامنه تاثیر از  $\frac{3}{5}$  تا  $\frac{236}{5}$  متر بسته به گونه علف هرز و مرحله نمونه برداری متغیر است. در حالیکه  $51\%$  تا  $85\%$  واریانس در تراکم نیز حاصل همبستگی مکانی بود. در طی فصل پارامترهای مدل سمی واریوگرام برای پیچک تغییر اندازی کرد که پایداری نسبی لکه‌های این علف هرز چندساله را در طی فصل نشان داد. سوروف تیمار شیمیائی دریافت ننمود و با مساعد شدن شرایط در طی فصل حتی اندازی گسترش یافت. برای بقیه علفهای هرز دامنه تاثیر کاهش یافت ولی ساختار مکانی تا حد زیادی ثابت بود، که پایداری نقاط مرکزی پرترکام لکه را نشان داد. همچنین اثر جهت داری بصورت لکه‌های ممتد و کشیده در جهت عبور ابزار آلات مزرعه و شیار آبیاری مشاهده شد. نتایج این مطالعه نشان داد که توزیع مکانی سبب بهبود تصمیم گیریهای مدیریتی و افزایش درک ما از دینامیک جمعیت علفهای هرز خواهد شد.

**واژه‌های کلیدی:** لکه، پویایی مکانی، ژئواستاتیستیک، مدیریت متناسب با مکان علفهای هرز

### مقدمه

که سطوح آلدگی ۵ گونه علف هرز بین ۵٪ تا ۱۰۰٪ تغییر می‌کرد (۱۹).

ناهنجانی مکانی علفهای هرز بوسیله کنش متقابل بیولوژی علف هرز، شرایط موضعی میکروکلیما و برنامه های مدیریتی زراعی تحت تأثیر قرار می گیرد (۲۵ و ۱۲) که تنها برخی از این عوامل تحت کنترل کشاورز می باشد (۲۷). هر چند این موضوع در برنامه ریزیهای کشاورزی اغلب نادیده گرفته شده و تصمیم گیریها عموماً بر مبنای میانگین فشار علفهای هرز می‌باشد (۱۳). پیامد این نادیده انگاری برای کشاورزان، کارایی کمتر مدیریت علفهای هرز بوده (۲۳ و ۳۲) و احتمالاً استفاده بیشتر از علفکشها را نیز موجب شود (۱۵).

علفهای هرز لکه‌ای<sup>۱</sup> ظاهر می شوند (۷، ۱۳، ۲۰، ۲۴، ۲۵، ۲۹، ۳۰ و ۳۲) این موضوع طی دهه گذشته تنها با یک کنجدکاوی آکادمیکی آغاز، اما به زودی به یک پتانسیل عمده برای افزایش کارایی مدیریت علفهای هرز و شناخت بهتر از پویایی جمعیت آنها تبدیل شد (۲۳ و ۲۴). برای مثال جانسون و همکاران (۱۹۹۵) در ۱۲ مزرعه ذرت و سویا در نبراسکا مناطق بین ردیف را نمونه برداری کرده و گزارش دادند که ۳۰٪ این سطوح عاری از علفهای هرز برگ پهن و ۷۰٪ نیز عاری از گراسها می‌باشد (۲۶). گرها درس و همکاران (۱۹۹۷) نیز در یک مطالعه ۴ ساله در دو مزرعه گزارش دادند

\* به ترتیب دانشجوی کارشناسی ارشد، استادیار و استاد گروه زراعت و اصلاح نباتات، دانشکده کشاورزی، دانشگاه فردوسی مشهد

تخمین تراکم، موقعیت یا آرایش علفهای هرز در مزرعه مورد استفاده قرار گیرند. از این رو قادر به توصیف این جوامع نیستند (۲۹) و این دلیل اصلی برای نیاز به آمارهای مکانی در مطالعات اکولوژیک است. تکیه‌کاری ژئوستاتیستیکی<sup>۵</sup> برای توصیف توزیع علفهای هرز (۱۲، ۱۳ و ۱۸)، پدید آوردن نقشه‌های نیمار علف هرز جهت سپاشی لکه‌ای<sup>۶</sup> (۲۱) و برای مطالعه پایداری لکه‌ها<sup>۷</sup> طی زمان (۲۵) مورد استفاده قرار می‌گیرد.

توزیع ناهمگون علفهای هرز نه تنها بر روابط بین تراکم علف هرز و کاهش عملکرد گیاه زراعی اثر می‌گذارد بلکه بر الگوی آتی پراکنش علفهای هرز نیز تأثیرگذار است. بنابراین در ک دینامیک لکه حائز اهمیت بوده و به پیش‌بینی الگوهای آتی توزیع و همچنین بکارگیری مدیریت متناسب با مکان در درازمدت کمک خواهد کرد. اما بخش اعظم در ک ما از دینامیک لکه تئوریکی و بر اساس پیش‌بینی مدلهاست. اکثر مطالعات توزیع علفهای هرز را تنها در یک نقطه از زمان مورد بررسی قرار داده‌اند (۳۱). تنها در سالهای اخیر، مطالعات اندکی پویایی مکانی<sup>۸</sup> این جوامع را بررسی کرده‌اند. شاید علت آن پیچیدگی این روابط متقابل و دشوار بودن تجزیه و تحلیل آن باشد (۱۰). ساده‌ترین و رایج‌ترین راه نیز ارزیابی نقشه‌های متوالی به صورت چشمی است (۳۱). محققین بوسیله این نقشه‌های متوالی میتوانند چگونگی تغیرات جوامع علفهای هرز را در پاسخ به مدیریت اعمال شده در طی زمان و مکان بررسی کنند (۱۰). با توجه به موارد بالا هدف از این مطالعه ارزیابی الگوهای توزیع مکانی جمعیت گونه‌های مختلف علف هرز و پویایی مکانی آنها طی یک فصل زراعی در یک مزرعه ذرت علوفه‌ای (با مدیریت متدائل) در شرایط مشهد می‌باشد.

توزیع مکانی<sup>۱</sup> علفهای هرز در نمونه برداری، پیش‌بینی‌های کاهش عملکرد و مدیریت علفهای هرز نادیده گرفته شده و تاکنون بوضوح در بسیاری از مطالعات مربوط به جمعیت، رقابت و یا مدیریت علفهای هرز مورد توجه قرار نگرفته است (۵، ۱۰ و ۱۴). برای مثال تابع هایپربولیک که معمولاً برای توصیف درصد کاهش عملکرد در واحد تراکم علف هرز مورد استفاده قرار می‌گیرد (۱۴) توزیع علفهای هرز را یکنواخت در نظر می‌گیرد (۸، ۱۵ و ۳۲). این فرض منجر به خطاهایی در تخمین کاهش عملکرد می‌شود و احتمالاً تخمینی بالاتر از کاهش عملکرد را ارائه میدهد. بنابراین زمانیکه ویژگیهای توزیع علفهای هرز شناخته شود کاهش عملکرد حاصل از تخمینهای تراکم نیز با دقت بیشتری پیش‌بینی می‌شود (۵، ۸ و ۳۲).

نقشه‌های توزیع علف هرز میتواند برای انجام تصمیم‌گیریهای مبنی بر اینکه کدام قسمت از مزرعه تیمار شود و همینطور برای تعیین نوع و میزان ورودی مدیریتی مورد استفاده قرار گیرد (نقشه مدیریتی<sup>۹</sup>) (۳ و ۴). مدیریت متناسب با مکان علفهای هرز<sup>۱۰</sup> اثرات مطلوب محیطی و سودمند اقتصادی را نیز به همراه دارد (۲۸). تخمینهای کاهش مصرف علفکش در نتیجه استفاده از این استراتژی مدیریتی عموماً در دامنه ۴۰ تا ۶۰٪ می‌باشد (۲۰). بنابراین کاربردهای متناسب با مکان به خوبی با اهداف مدیریت تلفیقی علفهای هرز<sup>۱۱</sup> هماهنگی دارد (۳۰).

تجمع و ساختار مکانی جوامع را می‌توان بوسیله آمارهای کلاسیک (۱۱ و ۲۶)، شاخصهای تجمع (۷، ۱۱ و ۱۶) و آمارهای مکانی (۱۱، ۱۳، ۲۰ و ۲۳) توصیف کرد. آمارهای کلاسیک و شاخصهای تجمع تو صیفی غیر مکانی از توزیع علفهای هرز را ارائه می‌دهند و نمی‌توانند برای

1-Spatial distribution

2-Management map

3-Site- Specific Weed Management (SSWM)

4-Integrated Weed Management (IWM)

5-Geostatistical techniques

6 -Patch spraying

7- Patch stability

8- Spatial dynamics

### ج - تجزیه و تحلیل داده‌ها:

خلاصه آماری (میانگین، انحراف معیار، واریانس نمونه، حداقل، حداکثر، چولگی<sup>۲</sup> و کشیدگی<sup>۳</sup>) برای گونه‌های متداول علف هرز محاسبه شد. داده‌های تراکم علف هرز چولگی مثبت داشتند (تعداد زیادی از کوادراتها عاری از علف هرز بوده و یا تراکمهای کمی از علفهای هرز را شامل می‌شدند). از آن جائی که زیاد بودن میزان انحراف از توزیع نرمال ممکن است در تجزیه و تحلیلهای آماری بعدی، بویژه محاسبه واریوگرام<sup>۴</sup> اثرات نامطلوبی بر جای بگذارد، لذا بعد از افروزنده یک به تمامی داده‌ها از آنها لگاریتم طبیعی گرفته شد  $[\ln(z+1)]$ . اگرچه داده‌ها کاملاً نرمال نشد اما چولگی و کشیدگی تا حدود قابل توجهی، به سمت صفر کاهش یافت.

پراکنش علفهای هرز لکه ایست یا در اصطلاح آماری، مشاهدات علف هرز در مزرعه عمدها مستقل از هم نیستند، به همین دلیل از آنالیزهای ژئواستاتیستیکی که این وابستگی مکانی را تجزیه و تحلیل می‌کنند استفاده می‌شود. بطور کلی روشهای آماری ژئواستاتیستیکی بر پایه نظریه متغیر مکانی<sup>۵</sup> استوار است. نظریه متغیر مکانی بر این مبنای است که خصوصیات مختلف محیطی (همانند تراکم علف هرز) دارای وابستگی مکانی هستند، بدین ترتیب که مقادیر یک متغیر محیطی در فواصل نزدیک دارای تشابه بیشتری بوده که با افزایاد فاصله این همبستگی مکانی بین دو نمونه مورد نظر کاهش می‌یابد. چنین وابستگی مکانی بین نمونه‌ها را می‌توان بصورت یک مدل ریاضی تحت عنوان واریوگرام توصیف نمود (۱ و ۲).

$$\hat{\gamma}(h) = \frac{1}{2N(h)} \sum_{i=1}^{N(h)} [Z[X_i] - Z(X_i + h)]^2 \quad (1)$$

که در آن:

$N(h)$  زوج نمونه‌ایست که به فاصله  $h$  از یکدیگر واقع‌اند،

2- Skewness

3 - Kurtosis

4- Variogram

5- Regionalized variable

### مواد و روشها

#### الف - سطح مورد مطالعه:

این تحقیق در سال ۱۳۸۱ در بخش تجاری مزرعه تحقیقاتی دانشکده کشاورزی دانشگاه فردوسی مشهد واقع در ۱۰ کیلومتری جنوب شرقی ( $35^{\circ}$  شمالی و  $۲۸^{\circ} ۵۹'$  شرقی) در مزرعه ذرت در سطح یک هکتار انجام شد. خاک زمین مورد نظر از نوع لوم رسی بوده و از سال ۷۸ تا ۸۱ به ترتیب زیر کشت جو پاییزه، گوجه فرنگی، گندم و ذرت بوده است. کود فسفات آمونیوم به میزان ۲۵۰ کیلوگرم در هر هکتار قبل از کاشت مصرف شد. آماده سازی زمین توسط شیارکن، دیسک و ماله در اواسط خرداد ماه ۱۳۸۱ انجام گرفت. بذر ذرت علوفه ای به میزان ۴۰ کیلوگرم در هکتار با دستگاه بذر کار غلات بر روی ردیفهایی با فواصل ۷۰ cm و فاصله بوته ۷ cm روی ردیف کاشت شد. سم پاشی علف کش توفوردی به منظور کنترل پهنه برگها و به میزان ۱/۵ لیتر در هکتار در ۱۳ تیرماه انجام شد. کولیتواسیون بین ردیف در ۲۳ تیرماه اعمال شد. برداشت ذرت در نیمه دوم شهریور ماه انجام گرفت.

#### ب - نمونه برداری:

نمونه برداری از زمین در بخشی به مساحت  $56m^2$  در ۱۲۶ بر روی یک شبکه علامت گذاری شده مربعی<sup>۱</sup> به ابعاد  $7m * 7m$  انجام گرفت و در مجموع از ۱۷۱ نقطه نمونه برداری شد. نمونه برداری با استفاده از کوادراتهایی به ابعاد  $100cm * 100cm$  و در سه مرحله به ترتیب زیر انجام گرفت:

۱. قبل از مدیریت پس رویشی (۹ تیر ماه)

۲. بعد از مدیریت پس رویشی (۴ مرداد ماه)

۳. قبل از برداشت گیاه زراعی (۴ شهریور ماه)

در هر یک از کوادراتهایی که در محل تقاطع شبکه‌های مربع مانند قرار می‌گرفتند تمامی گونه‌های علف هرز موجود شناسائی و شمارش شدند.

توسط همبستگی مکانی با روش نمونه برداری بکار رفته توجیه می‌شود.

پارامترهای حاصل از برآش این مدلها برای تخمین تراکم علف هرز بر اساس داده‌های حاصل از نمونه‌های موجود استفاده شد. کریجینگ متداول‌ترین روش آماری تخمین و برآورد متغیر مکانی و به عنوان یکتابع خطی از مجموعه مشاهدات توزیع شده واقع در همسایگی نقطه‌ای که می‌خواهیم تخمین بزنیم شناخته می‌شود. هدف از کریجینگ یافتن وزنهای آماری به گونه‌ای است که واریانس تخمین حداقل گردد. بدین ترتیب کریجینگ را می‌توان روشنی دانست که طی آن به مجموعه نمونه‌ها به گونه‌ای وزن آماری داده می‌شود که ترکیب خطی آنها نه تنها ناریب شود بلکه در بین سایر تخمین‌گرها حداقل واریانس را نیز داشته باشد (۲۲ و ۱). سیستم معادلات کریجینگ را که با استفاده از محاسبات ماتریسی حل می‌گردد می‌توان به شکل زیر نوشت:

$$\sum_{j=1}^n \lambda_j [X_i, X_j] + \mu = \gamma [X_i, X] \quad (2)$$

$$\sum_{i=1}^n \lambda_i = 1$$

در معادله فوق ( $x_i, x_j$ ) بیانگر سمعی واریانس بین نمونه‌ها و ( $x_i, x_0$ ) سمعی واریانس بین نقطه مورد تخمین و نمونه‌های واقع در همسایگی آن نقطه می‌باشد. دستگاه معادلات کریجینگ را می‌توان به منظور برآورد نقطه‌ای و یا برآورد قطعه‌ای انجام داد. در این بررسی برآورد آماری برای بلوکهای دارای ابعاد  $V_m * V_m$  صورت گرفت. بخش عمده محاسبات ویژگیهای آماری، نرم‌الکترونیک داده‌ها، تبدیل برگشت<sup>۱</sup> (پس از برآورد آماری نتایج از حالت لگاریتمی به حالت اولیه تبدیل برگشت داده شد و سپس نقشه‌ها ترسیم شدند)، رسم واریوگرامهای تجربی، برآش دادن مدلها، برآورد کریجینگ و رسم نقشه‌های توزیع علفهای هرز با استفاده از نرم افزار GS+ انجام گرفت (۲).

$Z(x_i+h)$  تراکم علف هرز در موقعیت  $x_i+h$  و  $(h)$  نیز سمعی واریانس<sup>۱</sup> می‌باشد. در حقیقت سمعی واریوگرام تنواع مکانی را بعنوان یکتابع از فاصله بین نقاط ژئوگرافیک توصیف می‌نماید. به این ترتیب بر اساس نمونه‌های موجود مقدار تجربی این معادله بدست آمده و سپس مدلی را با این مقادیر تجربی وفق می‌دهیم. از پارامترهای این مدل برای تخمین تراکمهای علف هرز در نقاط نمونه برداری نشده در کریجینگ<sup>۲</sup> استفاده می‌شود. این پارامترها عبارتند از (۲۲):

حد آستانه<sup>۳</sup> ( $C_0 + Cs$ ) ، با افزایش یافتن فاصله  $h$  مقدار واریوگرام نیز به تدریج تا فاصله معنی زیاد شده و از آن به بعد به حد ثابتی می‌رسد که نشانگر حد آستانه است و برای پیش‌بینی دامنه تأثیر مورد استفاده قرار می‌گیرد. دامنه تأثیر (AO)<sup>۴</sup> ، فاصله ایست که در مواردی آن نمونه‌ها بر هم تأثیری نداشته و آنها را می‌توان مستقل از یکدیگر به حساب آورد. چنین فاصله‌ای حد همبستگی خصوصیت موردنظر را مشخص ساخته و اطلاعاتی در رابطه با حد مجاز فاصله نمونه برداری ارائه میدهد. از طرفی اکثر واریوگرامها در فواصل خیلی کوتاه تغییرات ناگهانی و سریعی از خود بروز داده و بدین ترتیب مقدار سمعی واریانس در مبدأ صفر نبوده واریوگرامها از مرکز مختصات محور سمعی واریانس عبور نمی‌نمایند. این مقدار را اصطلاحاً اثر قطعه‌ای<sup>۵</sup> ( $C_0$ ) می‌نامند. به عبارت دیگر مفهوم اثر قطعه‌ای بدین معناست که مشاهدات جداسده بوسیله مسافت‌بی‌نهایت کوچک غیر تصادفی بودن توزیع علفهای هرز کاسته شده و همبستگی مکانی قویتری پذیدار می‌شود. در حقیقت تفاوت بین حد آستانه و اثر قطعه‌ای نشان دهنده بخشی از تنواع است که

1-Semi-variance

2-Kriging

3-Sill

4-Range

5-Nugget

خواهد گشته که بتوههای خرفه بویژه در نقاط پر تراکم، علف کشن نیز بر روی بتوههای خرفه تاثیر کمتری نسبت به بتوههای ایستاده و با انشعابات جانبی کمتر همانند تاج ریزی، سلمه‌تره و تاج خروس داشته باشد، هرچند ذرت علوفه‌ای از گیاهان زراعی مهم در تناوب محسوب می‌شود و در مدیریت این گیاهان فاصله کم را دیگرها، افزایش تراکم گیاه زراعی، مدیریت کوددهی و غیره همگی قادر به تغییر تعادل رقابتی برای ذرت علوفه‌ای و گیاهان مشابه آن در مقابل علوفه‌ای هرز است (۹). بدین ترتیب با ادامه فصل رشد کنترل نسبی خرفه را موجب شده است (جدول ۱).

نتایج نشان داد که بخش‌های نمونه برداری شده عاری از علف هرز بین  $6/43$  تا  $41/99$ ٪ تغییر کرد. با کاهش تراکم متوسط علف هرز درصد نقاط عاری از علف هرز افزایش یافت. در این مطالعه قبل از مدیریت پس رویشی در صد قابل توجهی از نقاط نمونه برداری شده عاری از خرفه، پیچک، سلمه و تاج خروس بودند (جدول ۱) این بدان معناست که می‌توان به میزان زیادی در مصرف علفکش صرفه جویی کرد. جانسون و همکاران (۱۹۹۵) نیز در مطالعه بخش‌هایی از یک مزرعه در نبراسکا عنوان کرده بودند که ورودیهای مدیریتی می‌تواند  $30$  تا  $70$ ٪ بوسیله کاربرد ورودیها، تنها برای مناطق آلوده به علف هرز کاهش یابد (۲۴)، اگرچه برای بررسی هزینه‌ها و سودمندیهای بکارگیری علف کش متناسب با مکان نه تنها ارزیابی میزان مناطق عاری از علف هرز بلکه همچنین آرایش مکانی آنها نیز حائز اهمیت است.

#### همبستگی مکانی علوفه‌ای هرز متداول:

همبستگی مکانی برای گونه‌های متداول در هر سه مرحله نمونه برداری با استفاده از تجزیه و تحلیل سی واریوگرامها محاسبه شد. واریوگرامهای علوفه‌ای هرز مورد مطالعه عموماً با مدل‌های کروی<sup>۱</sup> و نمایی<sup>۲</sup> سازگاری داشتند بر اساس این نمونه‌ها دامنه تأثیر از  $۳/۵$  تا  $۲۳۶/۵$  متر بسته به

#### نتایج و بحث

##### توصیف کلاسیک جمعیت‌های علف هرز:

در مجموع ۱۵ گونه (یا مجموعه گونه) علف هرز در مزرعه مورد نظر ثبت شد. تاج ریزی سیاه، تاج خروس (*A.hybridus*, *A.blitoides*, *Amaranthus retroflexus*)، سلمه‌تره، خرفه، پیچک و سوروف علوفه‌ای هرز متداول در هر سه مرحله نمونه برداری بودند. بطور کلی اهمیت گونه‌ها بسته به مرحله نمونه برداری متفاوت بود (جدول ۱).

تراکمهای علف هرز در بین مراحل نمونه برداری احتمالاً در اثر کاربرد علف کش، نوع و زمان عملیات مدیریتی، شرایط محیطی و بیولوژی هر گونه علف هرز تحت تأثیر قرار می‌گیرند (۱۰). در این مطالعه تاجریزی سیاه از تراکم بالایی برخوردار بود و در سرتاسر فصل رشد به جوانهزنی و سبزشدن ادامه داد (حتی در مرحله سوم نمونه برداری نیز گیاهچه‌های تاجریزی سیاه مشاهده شد) و در مرحله سوم نمونه برداری نیز تنها  $۳۴/۵$ ٪ از نقاط نمونه برداری شده عاری از این علف هرز بود (جدول ۳)، با وجود کاتوپی مسدود ذرت علوفه‌ای چنین نتیجه‌ای در خور توجه می‌باشد به نظر میرسد که تراکم بالای تاج ریزی سیاه در بانک بذر (تراکم بالای گیاهچه‌های آن در ابتدای فصل می‌تواند موید این نکته باشد)، وجود چشممه‌های نوری<sup>۳</sup> در ساختار کاتوپی طی فصل رشد و دوره طولانی ظهور این علف هرز تابستانه در سبزشدن‌های متوالی آن دخیل باشد. هرچند قطعاً چنین گیاهچه‌های کوچک و ضعیفی قادر به رقابتی در خور توجه با بتوههای ذرت (و کاهش عملکرد آن) نمی‌باشند.

خرفه علف هرز غالب در مرحله دوم نمونه برداری (بعد از مدیریت پس رویشی) بود (جدول ۱) به دلیل گوشتشی بودن، کوتیکول ضخیم و به خصوص ذخیره بالای آب در خرفه، منحنی پژمردگی خرفه آرام بوده و در نتیجه خرفه از گونه‌های با حساسیت کمتر به کنترل مکانیکی به حساب می‌آیند، از طرفی بنظر میرسد که بدلیل کوچک بودن و

1- Spherical model

2- Exponential model

2- Sun flackes

جدول ۱: خلاصه آماری داده‌های جمعیت گونه‌های علف هرز موجود در سه مرحله نمونه برداری

مرحله نمونه برداری *	علف هرز	تعداد کل	تراکم (تعداد بوته در متر مربع)	درصد نقاط نمونه برداری شده عاری از علف هرز
۱				
	( <i>Solanum nigrum</i> ) تاج ریزی سیاه	۱۶۰۵۷	۹۳/۹۰	۶/۴۳
	( <i>Amaranthus spp.</i> ) تاج خروس	۲۳۱۷	۱۹/۳۹	۲۲/۸۰
	( <i>Chenopodium album</i> ) سلمه تره	۲۶۶۴	۱۵/۵۷	۲۸/۰۷
	( <i>Portulaca oleracea</i> ) خرفه	۲۶۰۴	۱۵/۲۲	۳۰/۴۰
	( <i>Convolvulus arvensis</i> ) پیچک	۱۳۹۲	۸/۱۴	۴۳/۲۷
	( <i>Echinochloa crus-galli</i> ) سوروف	۱۹۸	۱/۱۶	۸۷/۷۱
	( <i>Tribulus terrestris</i> ) خارخسک	۱۳۳	۰/۷۷	۹۰/۰۵
	( <i>Datura stramonium</i> ) تاتوره	۸۷	۰/۵	۹۲/۹۸
	( <i>Veronica persica</i> ) سیزاب	۳۳	۰/۱۹	۹۷/۰۷
	( <i>Sonchus arvensis</i> ) شیرتیغی	۱۳	۰/۰۷۷	۹۸/۸۳
	( <i>Xanthium strumarium</i> ) توق	۷	۰/۰۳۸	۹۹/۴۱
	( <i>Abutilon theophrasti</i> ) گاوبنده	۷	۰/۰۳۸	۹۹/۴۱
	( <i>Rumex acetosella</i> ) ساق ترشک	۷	۰/۰۳۸	۹۹/۴۱
۲				
	( <i>Solanum nigrum</i> ) تاج ریزی سیاه	۱۶۹۲	۹/۸۹	۵۰/۱۲۹
	( <i>Amaranthus spp.</i> ) تاج خروس	۴۷۹	۲/۸۰	۷۶/۰۲
	( <i>Chenopodium album</i> ) سلمه تره	۳۶۶	۲/۱۴	۸۲/۰۴
	( <i>Portulaca oleracea</i> ) خرفه	۱۷۱۲	۱۰/۰۱	۳۵/۶۷
	( <i>Convolvulus arvensis</i> ) پیچک	۳۱۳	۱/۸۳	۷۸/۳۶
	( <i>Echinochloa crus-galli</i> ) سوروف	۲۲۲	۱/۹۴	۷۹/۵۳
	( <i>Tribulus terrestris</i> ) خارخسک	۲۷	۰/۱۵۵	۹۷/۶۶
	( <i>Datura stramonium</i> ) تاتوره	۱۰۷	۰/۶۲	۹۲/۳۹
	( <i>Poa annua</i> ) چمن هرز	۲۷	۰/۱۵۵	۹۸/۲۴
	( <i>Hibiscus trionum</i> ) کنف وحشی	۷	۰/۰۳۸	۹۹/۴۱
۳				
	( <i>Solanum nigrum</i> ) تاج ریزی سیاه	۲۲۲۴	۱۳/۵۹	۲۴/۵۰
	( <i>Amaranthus spp.</i> ) تاج خروس	۸۷	۰/۵	۹۲/۵۶
	( <i>Chenopodium album</i> ) سلمه تره	۱۵۳	۰/۸۹	۹۲/۹۸
	( <i>Portulaca oleracea</i> ) خرفه	۴۲۰	۲/۴۵	۶۹
	( <i>Convolvulus arvensis</i> ) پیچک	۲۹۳	۲/۲۹	۷۰/۷۶
	( <i>Echinochloa crus-galli</i> ) سوروف	۳۵۳	۲/۰۶	۸۰/۱۱
	( <i>Tribulus terrestris</i> ) خارخسک	۷	۰/۰۳۸	۹۹/۴۱
	( <i>Datura stramonium</i> ) تاتوره	۷۳	۰/۴۲	۹۵/۹۰
	( <i>Poa annua</i> ) چمن هرز	۲۰	۰/۱۱	۹۸/۲۴

۳ - قبل از مدیریت پس رویشی

۲ - بعد از مدیریت پس رویشی

\* ۱ - قبل از مدیریت پس رویشی

هر چند با یک وضوح ضعیفتر این احتمال وجود دارد که برخی لکه‌های کوچک ناپدید شده و دقت کاهش یابد. نتایج تجزیه و تحلیل واریوگرام نشان داد که در مجموع ۵۱ تا ۸۶٪ از واریانس در جمعیت منتج از همبستگی مکانی است (جدول ۲). بنابراین همبستگی مکانی متوسط تا قوی برای گونه‌های علف هرز در طی فصل وجود داشت. دونالد (۱۹۹۴) در مطالعه توزیع مکانی خارلته مقداری کم برای نسبت قطعه‌ای مطابق با ۰٪ حد آستانه را گزارش داد (۱۸٪). گذی و همکاران (۲۰۰۱) همبستگی مکانی لکه‌های متراکم و موضعی دم اسب را بسیار قوی و اثر قطعه‌ای آنرا صفر گزارش کردند در حالیکه در بررسی توزیع مکانی شیرتیغی یکساله میزان اثر قطعه‌ای را ۱۴/۵ و ۱۴/۳۲ به ترتیب از حد آستانه‌های ۳۲/۷۲ و ۲۳/۵۲ در ۲ سال مطالعه بدست آوردند و توزیع تقریباً تصادفی یا همبستگی مکانی متوسطی را نتیجه گیری کردند (۲۰). بنابراین به نظر می‌رسد که دامنه‌های تأثیر، اثر قطعه‌ای و حد آستانه برای گیاهان هرز متغیر است. این تغییر احتمالاً بعلت تفاوت در مکانیسم‌های پراکنش گونه‌های علف هرز، ناهمگونی توزیع بذور در خاک، توپوگرافی، فاکتورهای خاکی، اقلیم وغیره باشد.

ضعیفترین همبستگی مکانی مربوط به تاج خروس و در مرحله اول نمونه برداری بود. تنها ۱۸٪ واریانس جمعیت منتج از همبستگی مکانی بود (جدول ۲). احتمالاً به دلیل اینکه جمعیت تاج خروس سه گونه را شامل می‌شد که مکانیسم پراکنش و بقای کاملاً یکسانی ندارند. زمانیکه این پارامترها به تفکیک برای هر گونه محاسبه شد این فرض تأیید شد (نتایج نشان داده نشده است). اثر قطعه‌ای در تمامی موارد از صفر بالاتر بوداین بدان معناست که مشاهدات جدادشده بوسیله مسافت‌بی نهایت کوچک غیر مشابهند. این عدم تشابه در مورد جمعیت علف هرز احتمالاً در نتیجه وقایع پراکنش بذر، جوانه زنی، مرگ و میر، فاکتورهای خاکی، اعمال زراعی و یا مدیریتی ... است که در مقیاسی کمتر از ۷ متر رخ می‌دهد و یا در نتیجه خطای نمونه برداری و یا دیگر تغییرات غیر قابل پیش بینی است.

گونه علف هرز و مرحله نمونه برداری تغییر کرد (جدول ۲). گذی و همکاران (۲۰۰۱) این همبستگی مکانی را برای علفهای هرز متداول در یک مزرعه ذرت بدون شخم در انتاریو کانادا بین ۱۱/۵۸ تا ۶۱/۵۴ متر گزارش دادند (۲۰). ویزپتر و همکاران (۲۰۰۲) برای علفهای هرز یک مزرعه ذرت در ایالت کلرادو این همبستگی مکانی را ۵ تا ۳۶۳ متر گزارش کرده اند (۳۳). این دامنه تأثیر در حقیقت الگوی پراکنش علفهای هرز را نشان می‌دهند. دامنه زیاد نمایانگر این است که بذور یا اندامهای رویشی تولید ملی قادر به گسترش در مسافت زیادی هستند این پراکنش بوسیله تجهیزات شخم، ماشینهای برداشت، کولتیواتور و غیره امکان‌پذیر است (۲۰). سوروف، خرفه، تاج ریزی و تاج خروس دارای دامنه تأثیر زیاد بویژه در نمونه برداری اول بودند که در نقشه‌ها بصورت لکه‌های طوبیل قابل مشاهده اند (جدول ۲ و اشکال ۲، ۴، ۵ و ۶). طولانی ترین دامنه تأثیر ثبت شده در این مطالعه برای سوروف و در مرحله سوم نمونه برداری ۲۳۶/۵ متر بود، در حالیکه ۵۸/۷۳٪ از واریانس در تراکم آن نیز بوسیله همبستگی مکانی توجیه می‌شد (جدول ۲). برنامه کنترل خاصی بر روی سوروف صورت نگرفته و از طرفی سوروف از گونه‌های C4 و گرمادوست می‌باشد که با پیشرفت فصل شرایط برای جوانه زنی و رشدش مهیا‌تر می‌شود. به این ترتیب در پیش از برداشت با تراکم متوسط ۲۰۶ بوته در متر مربع اهمیت بیشتری نسبت به برگ پهنهایی نظیر سلمه تره و تاج خروس یافت. بنابراین این دامنه تأثیر طوبیل در پیش از برداشت دور از انتظار نبود (جدولهای ۱ و ۲). دامنه تأثیر در انتخاب استراتژی نمونه برداری و فاصله مجاز نمونه برداری نیز تأثیرگذار است. بعنوان مثال در این مطالعه، به منظور تهیه نقشه‌های صحیح توزیع برای استفاده در مدیریت متناسب با مکان، پیچک با دامنه تأثیر ۴ متر، به فواصل نمونه برداری کوچکتر از ۴ متر نیازمند است. سلمه تره با دامنه تأثیر ۷/۶ متر، فاصله نمونه برداری بکار رفته (۷ متر) مناسب بوده و برای بقیه علفهای هرز با دامنه تأثیر بیشتر از ۷ متر، فواصل نمونه برداری بزرگتری هم می‌توانست بکار رود

جدول ۲: ضرایب مدل‌های برازش داده شده بر واریوگرام‌های تجربی برای گونه‌های غالب علف هرز در سه مرحله نمونه برداری. واریوگرامها با استفاده از ۱۷۱ نقطه نمونه برداری با + GS برآورد شد.

مرحله نمونه برداری*	علف هرز	مدل	اثر قطعه‌ای (C <sub>0</sub> )	حد آستانه (C <sub>0</sub> + C <sub>s</sub> )	دامنه تأثیر (A <sub>0</sub> )	نسبت قطعه‌ای**
						(%)
۱						
	تاج ریزی سیاه	کروی	۰/۹۲	۳/۶۱	۱۷۹/۲۰	۲۵/۴۸
	تاج خروس	کروی	۱/۴۰	۲/۸۱	۱۸۳/۲۰	۴۹/۸۲
	سلمه تره	نمایی	۰/۴۳	۲/۰۲	۷/۶۰	۲۱/۲۸
	خرفه	کروی	۱/۳۸	۳/۵۲	۲۲۴/۱۰	۳۹/۲۰
	پیچک	نمایی	۰/۵	۱/۸۰	۴	۲۷/۷۷
	سوروف	نمایی	۰/۳۹	۱/۱۹	۲۱۷/۵۰	۳۲/۷۷
۲						
	تاج ریزی سیاه	کروی	۰/۴۹	۲/۰۸	۱۰/۶	۲۳/۵۵
	تاج خروس	نمایی	۱/۲۷	۱/۱۲	۶/۱۰	۲۴/۱۰
	سلمه تره	نمایی	۰/۱۶	۰/۹۵	۱۱/۹۰	۱۶/۸۴
	خرفه	کروی	۱/۱۹	۲/۴۵	۱۴۹/۶۰	۴۸/۵۷
	پیچک	نمایی	۰/۲۲	۰/۸۵	۳/۶۰	۲۵/۸۸
	سوروف	نمایی	۰/۶۹	۱/۴۳	۱۸۹/۹۰	۴۸/۲۵
۳						
	تاج ریزی سیاه	کروی	۰/۴۷	۲/۰۹	۱۲/۷۰	۲۲/۴۸
	تاج خروس	نمایی	۰/۰۴۱	۰/۲۹	۱۰/۷۰	۱۴/۱۳
	سلمه تره	کروی	۰/۱۱	۰/۴۵	۴۷/۸	۲۴/۴۴
	خرفه	نمایی	۰/۷۱	۱/۷۱	۱۴۶/۷۰	۴۱/۵۲
	پیچک	نمایی	۰/۲۷	۰/۹۸	۳/۵۰	۲۷/۵۵
	سوروف	نمایی	۰/۷۱	۱/۷۲	۲۲۶/۵۰	۴۱/۲۷

\* - قبل از مدیریت پس رویشی ۲ - بعد از مدیریت پس رویشی ۳ - قبل از برداشت گیاه زراعی

$$\left( \frac{C_0}{C_0 + C_s} \right) * 100 \quad **$$

دیگر همانند سوروف متفاوت بود و از ۱/۱۹ در ابتدای فصل به ۱/۷۲ در انتهای فصل افزایش یافت. تمامی گونه‌ها (به استثنای سوروف) از سمی واریانس بالاتری در مرحله اول نمونه برداری برخوردار بودند این بدان معناست که تفاوت بین مشاهدات در این مرحله نمونه برداری نسبت به دو مرحله دیگر بیشتر است که به نظر می‌رسد به علت تراکم و واریانس

پارامترهای سمی واریوگرام و روند تغییرات آن بسته به گونه علف هرز و مرحله نمونه برداری متغیر بود. برای مثال حد آستانه تاجریزی از ۳/۶۱ در ابتدای فصل به ۲/۰۹ در انتهای فصل کاهش یافت حد آستانه بالای تاجریزی نشان میدهد که واریانس جمعیت این گونه بیش از سایر گونه هاست، در حالیکه روندتغیرات حد آستانه برای گونه‌ای

### نقشه‌های توزیع و تراکم علفهای هرز:

یک ارزیابی چشمی از نقشه آلدگی «کل علفهای هرز» نشان میدهد که با وجود آلدگی در تمامی سطح مزرعه دامنه تغییرات تراکم در سطح مزرعه بالاست. میزان آلدگی از حاشیه جنوب غربی مزرعه با تراکم بالای ۳۰۰ بوته در متر مربع تا حاشیه شمال شرقی مزرعه با تراکم زیر ۵۰ بوته در متر مربع تغییر کرد. توزیع ناهمگون و تجمعی علفهای هرز در این شکل بخوبی مشهود است. از طرفی ثبات مکانی جامعه علف هرز بویژه نقاط مرکزی پر تراکم لکه‌ها نیز در این مزرعه مشاهده شد (شکل ۱)، گرها در مس و همکاران (۱۹۹۷) نیز نشان دادند که حتی در سیستمهای شخم متداول نیز لکه‌های نسبتاً ثابتی طی زمان وجود دارد (۱۹). نقشه‌های بعد از مدیریت پس رویشی (b) و پیش از برداشت (c) نشان دهنده وجود مراکز لکه‌ها، علفهای هرز باقیمانده در نتیجه از دست روی سم و یا علفهای هرزی بودند که دیرتر جوانه زده‌اند. این مراکز پر تراکم لکه، بذوری راکه منشاء گیاهچه‌ها در سال بعد می‌باشد فراهم می‌کنند (بویژه زمانیکه زمین شخم نخورده است) و میتواند نمایانگر نقاطی از مزرعه با تراکم بانک بذر بالا و شرایط مناسب برای جوانه‌زنی باشد. بنابراین به نظر می‌رسد که با وجود پوشش متراکم و انبوه این گیاه علوفه‌ای، مدیریت بهتر علفهای هرز بویژه در ابتدای رشد آن ضروری باشد، هرچند این نقشه‌ها (شکل ۱) تمامی گونه‌های علف هرز موجود در مشاهدات را شامل می‌شوند در حالیکه برخی گونه‌های علف هرز مغذی بوده و می‌توان آنها را جایگزین علوفه مطلوب ساخت، اما برخی دیگر اثر نامطلوبی بر روی کیفیت علوفه داشته و احتمالاً برای دام سمی (همانند تاتوره و تاجریزی سیاه در تراکم های بالا) می‌باشند، بنابراین با وجود اینکه از دیدگاه اثرات دراز مدت مدیریتی این میزان تراکم و ثبات مکانی در نمونه برداری انتهاهی فصل یک نگرانی عمده محسوب می‌شود، اما به نظر می‌رسد که با ترسیم نقشه برای هر گونه بطور مجزا قضاوت نهایی نیز بهبود یابد.

در نمونه برداری مرحله دوم، نقاط پر تراکم لکه‌های تاج

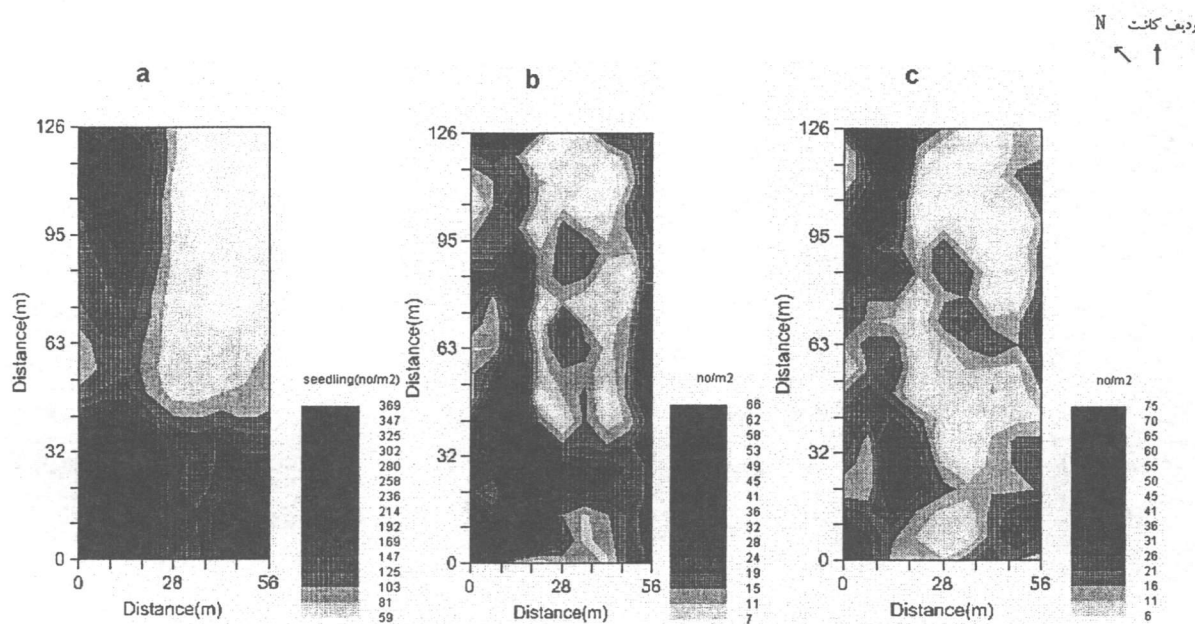
بالاتر جمعیت در مرحله اول نمونه برداری باشد. اختلاف در مقادیر اثر قطعه‌ای و حد آستانه در طی مراحل نمونه برداری نیز احتمالاً می‌تواند در نتیجه تغییرات در تراکم جمعیت باشد تا اختلافات در جابجایی یا رفتار لکه ای از یک مرحله نمونه برداری به مرحله دیگر. نسبت قطعه ای به سمت انتهای فصل بسته به گونه علف هرز اندکی کاهش می‌یافتد، دامنه تأثیر (AO) نیز عموماً کاهش یافت (جدول ۲). این حفظ ساختار مکانی لکه‌ها و باقی ماندن نقاط مرکزی پر تراکم لکه را تأییدمی‌کند. دیلمن و مورتنسن (۱۹۹۹) نیز یک رابطه خطی مثبت بین تراکم اولیه گیاهچه و تراکم گیاهچه‌های زنده باقی مانده از کنترل علف هرز (علف کش پس رویشی و کنترل مکانیکی) بدست آوردند (۱۷). به نظر می‌رسد که در مراکز لکه‌ها به علت همپوشانی کانونی‌های علفهای هرز و کاهش حذب سم کارایی علفکشها پس رویشی و دیگر اعمال مدیریتی کاهش می‌یابد

سلمه تره علف هرز یکساله ایست که مکانیسم آشکار پراکنشی بغیر از پراکنش از طریق عملیات مدیریتی کشاورزی ندارد. عموماً تمامی بذور در اطراف گیاه مادری می‌افتد (۶)، مقدار دامنه کوتاه بدست آمده از واریوگرام، مکانیسم محدودیت جابجایی بذور را تأیید می‌کند. در نمونه برداری اول، دامنه تأثیر کوتاه و ۷۸/۷٪ از واریانس در تراکم نیز منتع از همبستگی مکانی بود. که بصورت لکه‌های کوچک و منفصل در نقشه قابل مشاهد است (جدول ۲ و شکل ۶). گدی و همکاران (۲۰۰۱) نیز نتیجه مشابهی را گزارش داده بودند (۲۰).

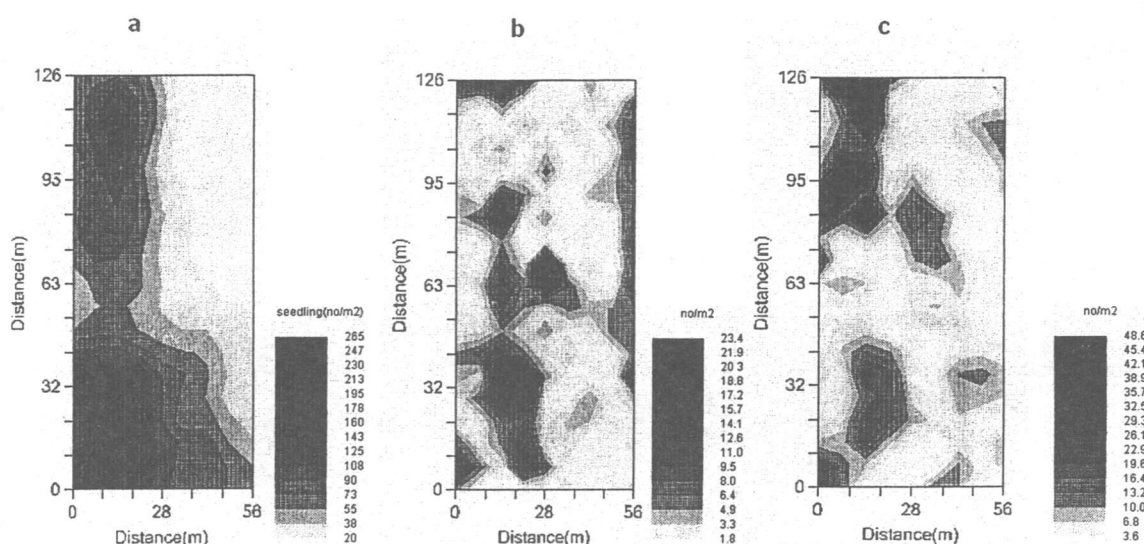
برای پیچک به عنوان یک علف هرز چند ساله با تولید مثل رویشی پارامترهای مدل در بین مراحل نمونه برداری تقریباً ثابت بود و همبستگی مکانی قوی (۷۱ تا ۷۴٪) در هر سه مرحله نمونه برداری وجود داشت (جدول ۲) که پایداری و لکه ای بودن این علف هرز چند ساله را کاملاً تأیید می‌نماید. گرها در مس و همکاران (۱۹۹۷) نیز گزارش داده بودند که لکه‌های چند ساله ها تمایل به پایداری در طی زمان دارند (۱۹).

). از طرفی لکه‌های طویل سوروف به سمت انتهای فصل توسعه یافته‌ند (شکل ۷) به نظر میرسد که این نتایج تلفیقی از ویژگیهای بیولوژیک هر گونه، شرایط آب و هوایی و مدیریت اعمال شده باشد.

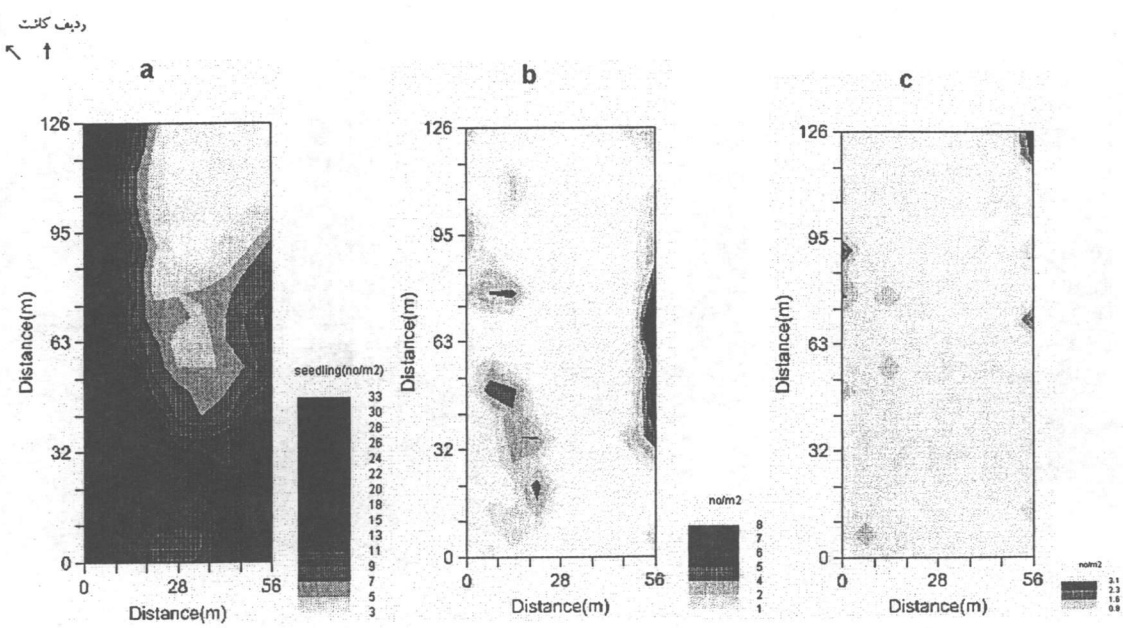
خروس و سلمه تره حفظ شدند ولی در نمونه برداری انتهایی (پیش از برداشت) از تراکم و سطح آلوده به این دو گونه علف هرز به شدت کاسته شد (شکل‌های ۳ و ۴)، در مقابل، ثبات مکانی لکه‌های مچاله شده تاج ریزی سیاه، خرفه و پیچک تا انتهای فصل قابل ملاحظه بود (شکل‌های ۲، ۵ و ۶).



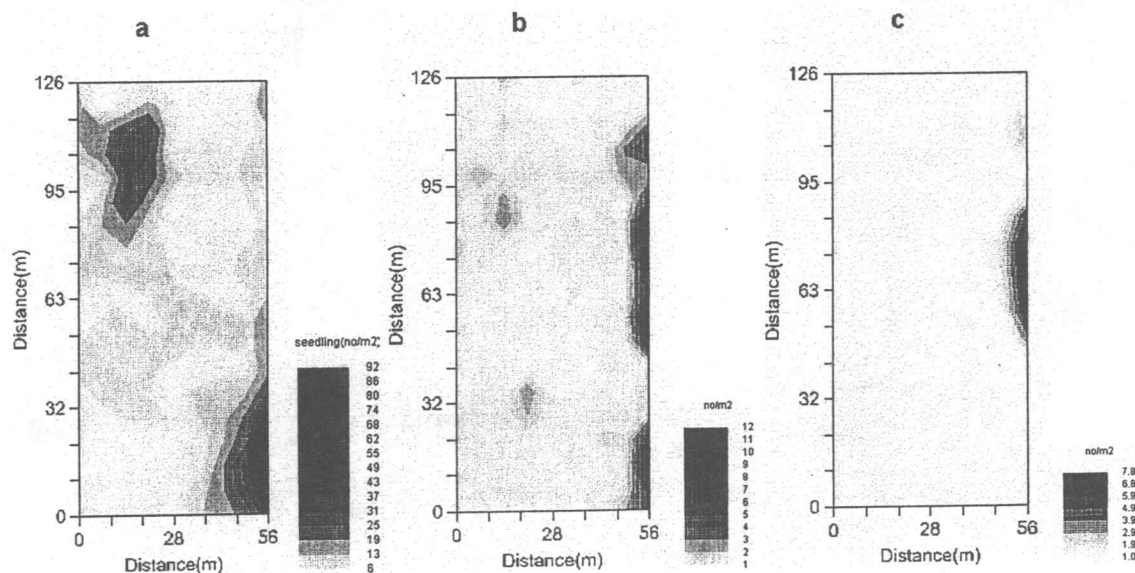
شکل ۱: نقشه‌های توزیع و تراکم «کل علفهای هرز» در:  
a) قبل از مدیریت پس رویشی b) بعد از مدیریت پس رویشی c) قبل از برداشت گیاه زراعی



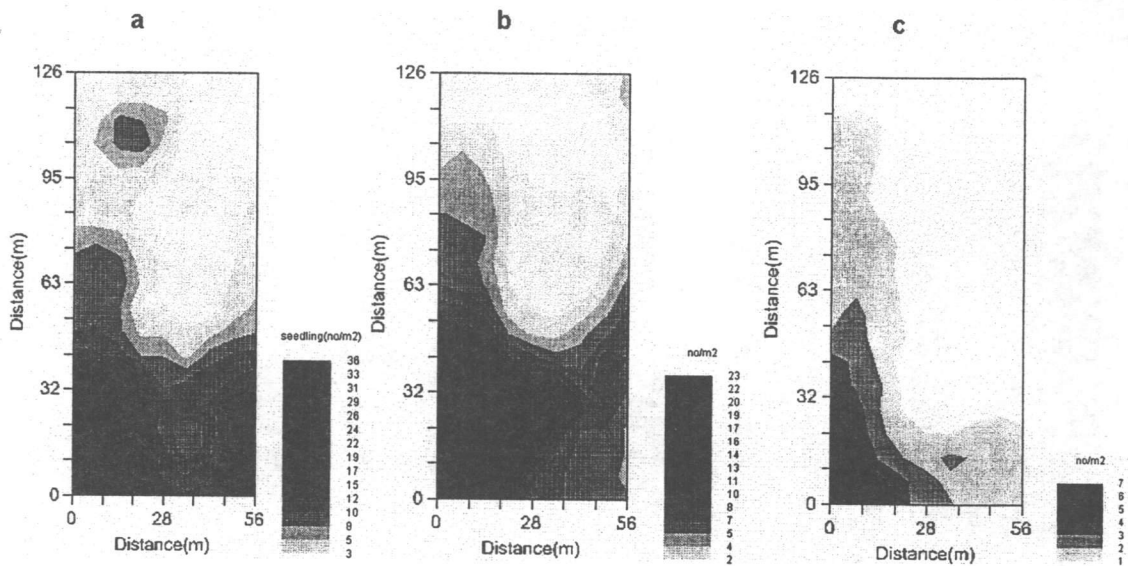
شکل ۲: نقشه‌های توزیع و تراکم تاج ریزی در:  
a) قبل از مدیریت پس رویشی b) بعد از مدیریت پس رویشی c) قبل از برداشت گیاه زراعی



شکل ۳: نقشه‌های توزیع و تراکم تاج خروس در:  
(a) قبل از مدیریت پس رویشی (b) بعد از مدیریت پس رویشی (c) قبل از برداشت گیاه زراعی

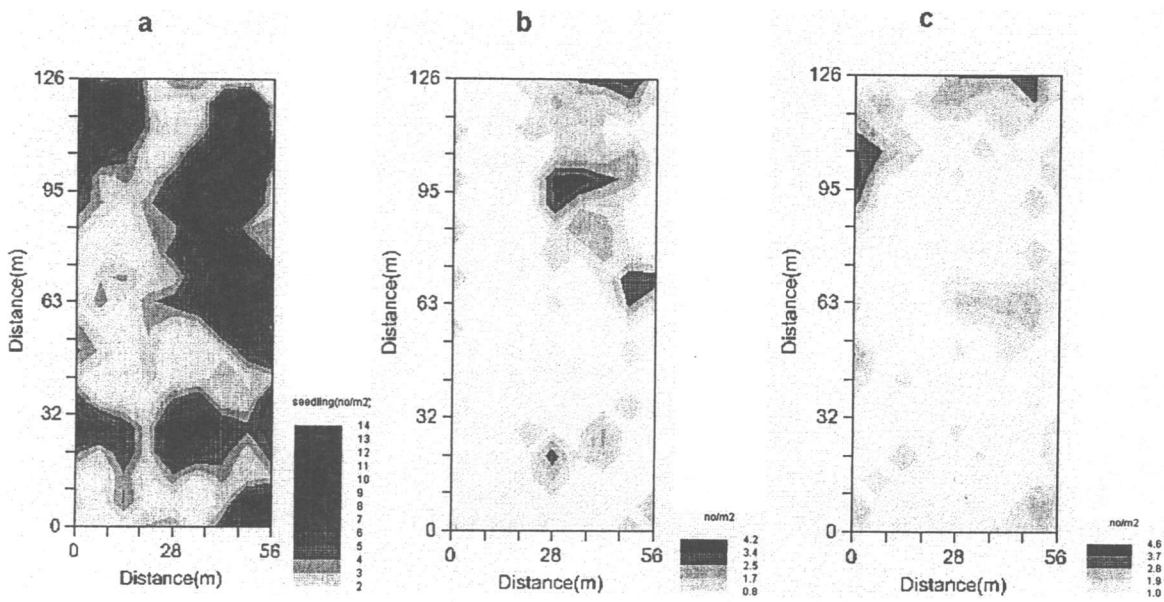


شکل ۴: نقشه‌های توزیع و تراکم سلمه تره در:  
(a) قبل از مدیریت پس رویشی (b) بعد از مدیریت پس رویشی (c) قبل از برداشت گیاه زراعی



شکل ۵: نقشه‌های توزیع و تراکم خرفه در:

(a) قبل از مدیریت پس رویشی (b) بعد از مدیریت پس رویشی (c) قبل از برداشت گیاه زراعی



شکل ۶: نقشه‌های توزیع و تراکم پیچک در:

(a) قبل از مدیریت پس رویشی (b) بعد از مدیریت پس رویشی (c) قبل از برداشت گیاه زراعی

رقابت کمتر گیاهان زراعی با علفهای هرز مکانهای مناسب تری برای حضور علفهای هرز باشد و به تدریج که به انتهای فصل نزدیکتر شدیم و کانونپی گیاهی مسدودتر شد این قضیه محسوس تر بود، به عنوان مثال جمعیت سلمه تره به سمت انتهای فصل به لکه‌ای ممتد در حاشیه شرقی زمین محدود شد (شکل ۴c).

تقریباً در تمامی نقشه‌ها، لکه‌ها عموماً به سمت حاشیه مزرعه تمایل داشتند. به نظر می‌رسد که حواشی مزرعه به دلیل جابجایی بذور از خارج به حواشی و داخل مزرعه، زنده‌مانی گیاهانی که دیرتر جوانه می‌زنند، کنترل ضعیفتر علفهای هرز در این نواحی (کارایی کمتر علفکشها)، سطوح کمتر استقرار گیاه زراعی، برخورداری بهتر از تشعشع و

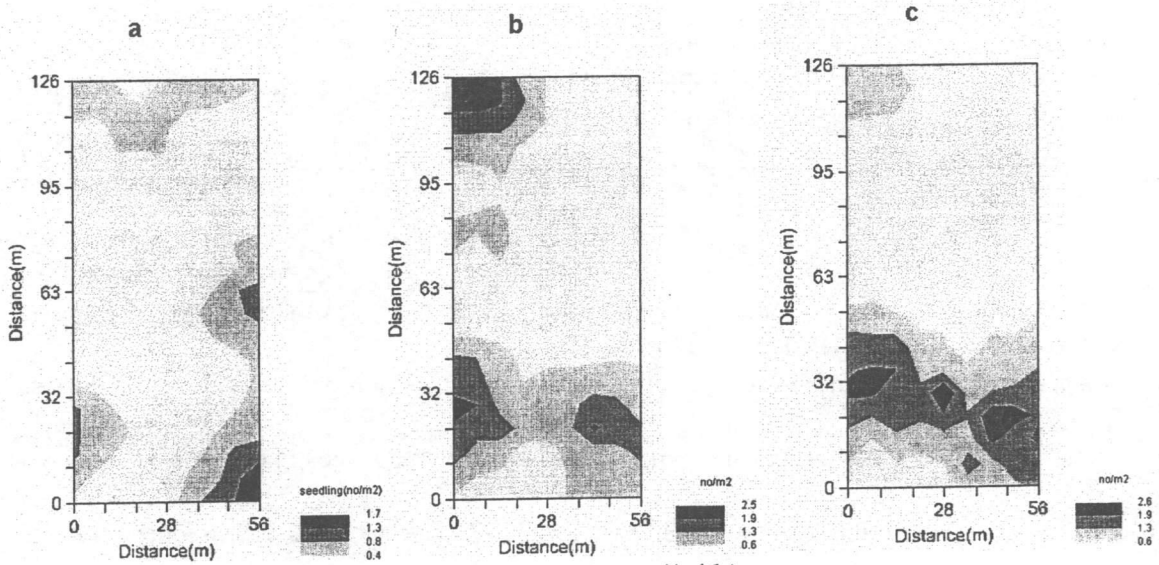
اینکه هر ساله تغییر موقعیت دهنده هزینه تهیه سالانه نقشه‌های گرانقیمت علف هرز بیش از منافع اقتصادی مدیریت متناسب با مکان علفهای هرز (مبتنی بر نقشه‌های از پیش تهیه شده) خواهد بود مطالعات بیشتری بر روی دینامیک مکانی جمعیت بعنوان تابعی از زمان یا سیستم‌های مدیریتی مورد نیاز است. هر چند باید توجه شود که نمونه برداری مورد استفاده در این مطالعه تنها برای توصیف توزیع جامعه علف هرز در یک مقیاس نسبتاً وسیع مناسب می‌باشد در حالیکه در ک دقيق تر پویایی جمعیت و مکانیسم‌هایی که الگوهای توزیع را موجب می‌شوند نیازمند مطالعه در مقیاسهایی دقیق تر و اندازه‌گیری مواردی اضافی فواصل پراکنش و .... می‌باشد

همانگونه که در بخش a شکلها ملاحظه می‌شود لکه‌ها در راستای ردیفهای گیاهان زراعی کشیده تر می‌باشند. دامنه طولیتر در جهت ردیف گیاهان زراعی احتمالاً به دلیل مدیریت گیاه زراعی، آب و باد می‌باشد(۳۳). این الگوی جهت دار در راستای ترافیک ابزارآلات و شیارهای آبیاری نشان می‌دهد که عملیات مدیریت مزرعه می‌تواند نقش قابل توجهی در توزیع علفهای هرز داشته باشد. از آنجا که همبستگی مکانی در جهت ردیف کاشت قویتر می‌باشد، می‌توان با فواصل طولانی تری در جهت ترافیک مزرعه نمونه برداری کرد.

پایداری لکه‌ها برای موفقیت مدیریت متناسب با مکان بسیار اهمیت دارد. اگر لکه‌ها بسرعت گسترش یابند و یا

دربت کلات

↑



شکل ۷: نقشه‌های توزیع و تراکم سوروف در:

(a) قبل از مدیریت پس رویشی (b) بعد از مدیریت پس رویشی (c) قبل از برداشت گیاه زراعی

مطالعات می‌توان در مواردی همچون ارزیابی و اطمینان از تخمینهای مدل‌های دینامیک مکانی، پیش‌بینی زمان سبز کردن علفهای هرز و ارزیابی موفقیت یا ضعف استراتژیهای مدیریتی موجود استفاده کرد. با استفاده از چنین نقشه‌هایی، امکان تنظیم مدیریت علفهای هرز بعنوان تابعی از تراکم موضعی آنها فراهم می‌آید. بعارت دیگر در کجا مزرعه و

گونه‌های علف هرز مورد مطالعه توزیع تصادفی و یا یکنواختی نداشته و از آرایشی لکه‌ای برخوردار بودند، بنابراین بنظر نمی‌رسد که استراتژیهای نمونه برداری، مدل‌های اکولوژیک و ... که توزیع همگون و یا تصادفی علفهای هرز را مبنای کار خود قرار داده‌اند قادر به ارائه یک توصیف صحیح از این قبیل جوامع باشند. از نتایج حاصل از این قبیل

تأثیر مدیریت متناسب با مکان بر روی این لکه‌ها به اندازه کافی در کشیده، اطلاعات محدود ما از این نحوه مدیریتی کاملتر خواهد شد.

#### قدرتانی:

بدین وسیله از آقای دکتر مهدی نصیری محلاتی، که با ارائه نظرات سازنده خود ما را در تمامی مراحل این مطالعه یاری نمودند کمال تشکر را می‌نماییم.

چه موقع اعمال مدیریتی انجام شود، از طرفی تلفیق نقشه‌های توزیع علف هرز(فلور و بانک بذر) با نقشه‌های عملکرد و خاک(با استفاده از GIS) دربهبود تصمیم‌گیریهای مدیریتی بسیار موثر خواهد بود. هر چند به نظر میرسد که اطلاعات فعلی ما به اندازه ای نیست که بتوان عواقب این تغییر در مدیریت را پیش‌بینی کرد. پس چگونه می‌توان به کشاورزان اطمینان داد که از این نحوه مدیریتی جدید کاملاً سود خواهند برد؟ زمانیکه پویایی لکه‌های علف هرز و همینطور

#### فهرست منابع مورد استفاده:

۱. محمدی. ج. ۱۳۷۷. مطالعه تغییرات مکانی شوری خاک در منطقه رامهرمز (خوزستان) با استفاده از نظریه ژئواستاتیستیک. کریجینگ. مجله علوم و فنون کشاورزی و منابع طبیعی. جلد ۲. شماره ۴. ص. ۶۴ - ۴۹.
2. Anonymous. 1994. GS+: Geostatistics for the Environmental Sciences. Version 2.3. Plainwell, MI: Gamma Design Software. 44p.
3. Audsley, E., 1993. Operational research analysis of patch spraying. Crop Prot. 12:111-119.
4. Audsley, E., and S. A. Beaulah. 1996. Combining weed maps to produce a treatment map for patch spraying. Asp. Appl. Biol. 46: 111-117.
5. Auld, B. A., and C. A. Tisdell. 1988. Influence of spatial distribution of weeds on crop yield loss. Plant Prot. Q. 31:81.
6. Bassett, I. J., and C. W. Crompton. 1978. The Biology of Canadian Weeds. 32. *Chenopodium album*. Can. J. Plant Sci. 58: 1061-1072.
7. Bigwood, D. W., and D. W. Inouye. 1988. Spatial pattern analysis of seed banks: an improved method and optimized sampling. Ecol. 69: 497 -507.
8. Brian, P. and R. Cousens. 1990. The effect of weed distribution on prediction of yield loss. J. Appl. Ecol. 27: 735-742.
9. Buhler, D .D. 2002. Challenges and opportunities for integrated weed management. Weed Sci. 50: 273-280.
10. Cardina, J., G. A. Johnson, and D. H. Sparrow. 1997. The nature and consequence of weed spatial distribution. Weed Sci. 45: 364-373.
11. Cardina, J., D. H. Sparrow, and E. L. Mccoy. 1995. Analysis of spatial distribution of common lambsquarters (*Chenopodium album*) in no-till soybean (*Glycine max*). Weed Sci.43:258-268.
12. Cardina, J., D. H. Sparrow, and E. L. Mccoy. 1996. Spatial relationships between seedbank and seedling populations of common lambsquarters (*Chenopodium album*) and annual grasses. Weed Sci.44:298-308.
13. Colbach, N., F. Forcella, and G. A. Johnson. 2000. Spatial and temporal stability of weed populations over five years. Weed Sci. 48:366-377
14. Cousens, R. 1985. A simple model relating yield loss to weed density. Ann. Appl. Biol. 107: 239-252.
15. Dent, J. B., R. H. Fawcett, and P. K. Thornton. 1989. Economics of crop protection with reference to weed control. Proc. 1989 Brighton Crop Prot. Conf. Weeds. 917-926.
16. Dessaint, F., R. Chadoeuf, and G. Barralis. 1991. Spatial pattern analysis of weed seeds in the Cultivated Seed bank. J. Appl. Ecol. 28: 721-730.

17. Dieleman, J. A., and D. A. Mortensen. 1999a. Predicting within field weed species occurrence based on field Site attributes. In: Proceeding precision Agriculture 1999 Conference (ed. J.V. Stafford), Odense, Denmark, 517-528.
18. Donald, W. W. 1994. Geostatistics for mapping weeds, with a Canada thistle (*Cirsium arvense*) patch as a case study. *Weed Sci.* 42: 648 –657.
19. Gerhards, R., D. Y. wyse – pester, and G. A. Johnson. 1997. Characterizing spatial stability of weed populations using interpolated maps. *Weed Sci.* 45:108-119.
20. Goudy, H. J., K. A. Bennett, R. B. Brown, and F. J. Tardif. 2001. Evaluation of site – specific weed management using a direct- injection sprayer. *Weed Sci.* 49: 359-366.
21. Heisel, T., C. Andreasen, and A. K. Ersball. 1996. Annual weed distributions can be mapped with kriging. *Weed Res.* 36: 325-337.
22. Isaaks, E. H., and R. M. Srivastava. 1989. An Introduction to Applied Geostatistics. New York: Oxford University Press. 561 p.
23. Johnson, G. A. 1994. Model parameterization, parametric sequential sampling, and geostatistical analysis of weed seedling populations. Ph. D. thesis, University of Nebraska, Lincoln.
24. Johnson, G. A., D. A. Mortensen, and A. R. Martin. 1995. A Simulation of herbicide use based on weed spatial distribution. *Weed Res.* 35: 197-205.
25. Johnson, G. A., D. A. Mortensen, and C. A. Gotway. 1996. Spatial and temporal analysis of weed seedling populations using geostatistics. *Weed Sci.* 44: 704-710.
26. Johnson, G. A., D. A. Mortensen, L. J. Young, and A. R. Martin. 1995b. The stability of weed seedling population models and parameter is in eastern Nebraska corn and soybean fields. *Weed Sci.* 43:604-611.
27. Johnson, G. A., and D. R. Huggins. 1999. Knowledge – based decision support strategies: linking spatial and temporal components within site- specific weed management. In “Expanding the Context of Weed Management” (Ed: D. D. Buhler). Food Products Press, pp. 225-238.
28. Lindquist, J. L., J. A. Dieleman, D. A. Mortensen, G. A. Johnson, and D. Y. wyse-pester. 1998. Economic importance of managing spatially heterogeneous weed populations. *Weed technol.* 12: 7-13.
29. Mortensen, D. A., G. A. Johnson, and L. J. Young. 1993. Weed distribution in agricultural fields. Pages 113-114 in P. C. Robert, R. H. Rust, and W. E. Larson, eds. Soil Specific Crop Management. Madison, WI: American Society of Agronomy.
30. Mortensen, D. A. and J. A. Dielman. 1998. Why weed patches persist: dynamics of edges and density. Pages 14-19 in R. W. Medd. And J. E. Pratley, eds. Proceeding of Precision Weed Management in Crops and Pasture, Wagga, Wagga, Australia.
31. Rew, L. J., and R. D. Cousens. 2001. Spatial distribution of weeds in arable crops: are current sampling and analytical methods appropriate? *Weed Res.* 41: 1-18.
32. Thornton, P. K., R. H. Fawcett, J. B. Dent, and T. J. Perkins. 1990. Spatial weed distribution and economic thresholds for weed control. *Crop Prot.* 9: 337-342.
33. Wyse-pester, D. Y., L. J. Wiles, and P. Westra. 2002. Infestation and spatial dependence of weed seedling and mature weed populations in corn. *Weed Sci.* 50: 54-63.

## Spatial dynamics of weed populations in a corn field using geostatistics

**A. Ashrafi, M. Banayan and M. H. Rashed Mohasel<sup>1</sup>**

### Abstract

The importance of spatial distribution in sampling weed populations, modeling population dynamics, and long-term weed management has been particularly important for methods to describe and analyze the spatial and temporal distribution of weeds. In year 2002, in a field located at Mashhad, weeds were identified and counted at 171 points of a corn field (1 ha) based on a 7(m) by 7(m) grid in 0.15m<sup>2</sup> quadrates, 3 times within the season including prior to post emergence management, after post emergence management, and before harvest. Geostatistical techniques were used to analyze the spatial structure of weeds and dynamics of patches. Fifteen weed species were observed across the field. Semivariogram analysis indicated 3.5 to 236.5m as the range of influence (patch size) which depends on weed species and sampling time (stage of growth). The semivariogram analysis also indicated that 51 to 85 % of the variation of sample density was due to spatial dependence, which suggests that most of the species were patchy. Semivariogram parameters did not change significantly over time for field bindweed which indicated the relative stability patches of this weed. Barnyardgrass was not treated with herbicide, thus patches have rapidly spread. For other weed species, the range of influence decreased (patches were smaller), but spatial structure was more stable over time which results in consistent patch position. The maps also showed elongated patches (anisotropy) along the field which may be in response to direction of tillage, irrigation and all other management practices. The results of this study showed that spatial distribution monitoring allows prediction of weed behavior and thus can be a valuable tool for management decisions and increases our understanding of the dynamics of weed populations.

**Key words:** patch, spatial dynamics, geostatistics, site-specific weed management

---

1- Contribution from College of Agriculture, Ferdowsi University of Mashhad.